Sipario

Design iGuzzini **iGuzzini**

Letzte Aktualisierung der Informationen: März 2025

Produktkonfiguration: 139A.01
139A.01: Strahler SIPARIO Ø73 - DALI - VeryWideFlood - OBLens - - 17.2W 1279.8lm - 4000K - CRI 90 - weiss

Produktcode
139A.01: Strahler SIPARIO Ø73 - DALI - VeryWideFlood - OBLens - - 17.2W 1279.8lm - 4000K - CRI 90 - weiss

Beschreibung
Ausrichtbarer Strahler Ø73 mit Adapter zum Einbau an einer Anschlussdose oder Stromschiene mit Netzspannung. Led-Lichtquelle mit Technologie C.O.B (Chip on board) mit hoher Farbwiedergabe -CRI90- Farbton 4000K. Korpus aus Aluminiumdruckguss mit hinterem Verschluss und Stirnring aus Thermoplast (Mass-Balance). Das Produkt ermöglicht eine Drehung von 360° um die vertikale Achse mit mechanischer Arretierung und eine Neigung von 90° auf der horizontalen Ebene. Passive Wärmeableitung. System OptiBeam Lens mit VeryWideflood-Optik. Dimmbare elektronische, in das Leuchtengehäuse integrierte DALI-2-Versorgungseinheit. Strahler mit Push&Go-System, für die schnelle und sichere Kopplung von Leuchte und optischem Zubehör. Die mechanische Abtrennung ermöglicht die sichere Auskopplung des Zubehörs ohne Fallgefahr. Die Verwendung von bis zu drei internen und einem externen Zubehör ist möglich. Sämtliche internen und externen Zubehörteile können um 360° im Verhältnis zur Längsachse des Strahlers gedreht werden.

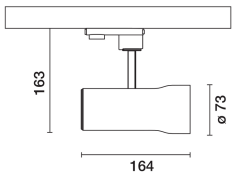

Installation
Anschlussdose oder Stromschiene mit Netzspannung.

Farben	**Gewicht (Kg)**
Weiß (01)	0.66

Montage
Dreiphasenstromschienensystem

Gemäß der Normen EN60598-1 u. Sondernormen

IP20

Technische Daten

lm System:	1280	CRI (minimum):	90
W System:	17.2	Farbtemperatur [K]:	4000
lm Lichtquelle:	1620	MacAdam Step:	2
W Lichtquelle:	15	Lebensdauer LED 1:	> 50,000h - L90 - B10 (Ta 25°C)
Lichtausbeute (lm/W, Systemwert):	74.4	Lampencode:	LED
lm im Notlichtbetrieb:	-	Anzahl Lampen in Leuchtengehäuse:	1
abgegebener Lichtstrom bei/ über einem Winkel von 90° [lm]:	0	ZVEI-Code:	LED
Leuchtenbetriebswirkungsgrad (L.O.R.) [%]:	79	Anzahl Leuchtengehäuse:	1
Abstrahlwinkel [°]:	61° / 59°	Control:	DALI-2

Polardiagramm

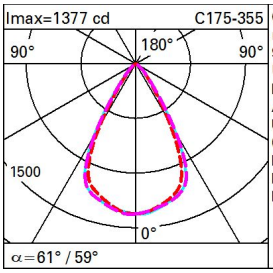

CIE
nL 0.79
93-100-100-100-79
UGR 22.7-22.2
DIN
A.61
UTE
0.79A+0.00T
F"1=928
F"1+F"2=995
F"1+F"2+F"3=1000

Lux

h	d1	d2	Em	Emax
1	1.2	1.1	1065	1374
2	2.4	2.3	266	343
3	3.6	3.4	118	153
4	4.8	4.5	67	86

Wirkungsgrad

R	77	75	73	71	55	53	33	00	DRR
K0.8	69	64	61	59	64	61	61	58	73
1.0	72	69	66	64	68	65	65	62	78
1.5	77	74	72	70	73	71	70	68	85
2.0	79	77	76	74	76	75	74	71	90
2.5	81	79	78	77	78	77	76	74	94
3.0	82	81	80	79	80	79	78	76	96
4.0	83	82	82	81	81	80	79	77	98
5.0	84	83	82	82	82	81	80	78	99

Söllner-Diagramm

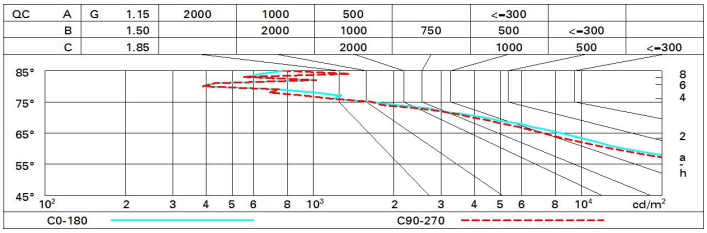

UGR-Diagramm

Corrected UGR values (at 1620 lm bare lamp luminous flux)

Riflect.: ceil/cav		0.70	0.70	0.50	0.50	0.30	0.70	0.70	0.50	0.50	0.30
walls		0.50	0.30	0.50	0.30	0.30	0.50	0.30	0.50	0.30	0.30
work pl.		0.20	0.20	0.20	0.20	0.20	0.20	0.20	0.20	0.20	0.20
Room dim				viewed crosswise					viewed endwise		
x	y										
2H	2H	23.3	24.0	23.6	24.2	24.5	22.7	23.4	23.0	23.6	23.9
	3H	23.2	23.8	23.5	24.0	24.3	22.6	23.2	22.9	23.5	23.8
	4H	23.1	23.7	23.4	23.9	24.3	22.5	23.1	22.9	23.4	23.7
	6H	23.0	23.5	23.4	23.8	24.2	22.5	23.0	22.8	23.3	23.6
	8H	23.0	23.5	23.3	23.8	24.1	22.4	22.9	22.8	23.3	23.6
	12H	22.9	23.4	23.3	23.8	24.1	22.4	22.9	22.8	23.2	23.6
4H	2H	23.1	23.7	23.4	24.0	24.3	22.5	23.1	22.8	23.4	23.7
	3H	23.0	23.4	23.3	23.8	24.1	22.4	22.9	22.8	23.2	23.6
	4H	22.9	23.3	23.3	23.7	24.1	22.3	22.7	22.7	23.1	23.5
	6H	22.8	23.2	23.2	23.6	24.0	22.2	22.6	22.6	23.0	23.4
	8H	22.7	23.1	23.2	23.5	23.9	22.2	22.5	22.6	22.9	23.4
	12H	22.7	23.0	23.1	23.4	23.9	22.1	22.4	22.6	22.9	23.3
8H	4H	22.7	23.1	23.2	23.5	23.9	22.2	22.5	22.6	22.9	23.4
	6H	22.7	22.9	23.1	23.4	23.9	22.1	22.4	22.6	22.8	23.3
	8H	22.6	22.8	23.1	23.3	23.8	22.0	22.3	22.5	22.7	23.2
	12H	22.5	22.8	23.1	23.2	23.8	22.0	22.2	22.5	22.7	23.2
12H	4H	22.7	23.0	23.1	23.4	23.9	22.1	22.4	22.6	22.9	23.3
	6H	22.6	22.8	23.1	23.3	23.8	22.0	22.3	22.5	22.7	23.2
	8H	22.5	22.8	23.1	23.2	23.8	22.0	22.2	22.5	22.7	23.2

Variations with the observer position at spacing:

S =			
	1.0H	4.6 / -7.6	4.2 / -6.8
	1.5H	7.3 / -12.5	6.8 / -12.4
	2.0H	9.3 / -16.1	8.8 / -16.0